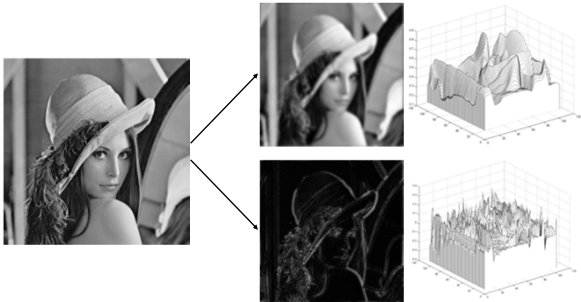


## Traitement de l'image

2016-2017

### Le filtrage des images

L. Denis & C. Mennessier,  
modifié par JP Bruandet



---

---

---

---

---

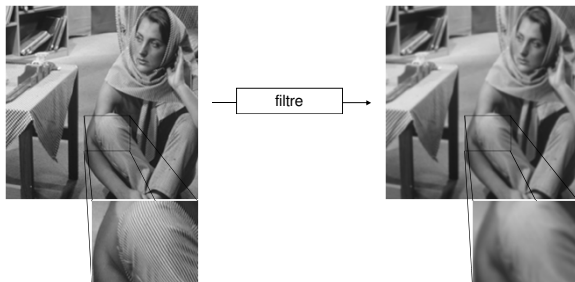
---

---

---

## Introduction

### Qu'est-ce que le filtrage?



page 2

Le filtrage des images

Introduction



---

---

---

---

---

---

---

---

## Applications

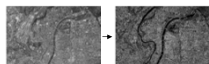
- Débruitage
- Déconvolution



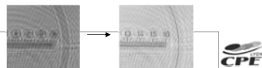
- Détection d'objet



- Extraction de contours



- Restitution en holographie numérique



---

---

---

---

---

---

---

---

## Classification des techniques de filtrage

- **Filtrage linéaire**
  - filtrage direct / fréquentiel
  - filtrage séparable
  - filtrage récursif
- **Filtrage non-linéaire**
  - filtrage d'ordre (ex: filtre médian)
  - filtrage morphologique
  - filtrage bilatéral
  - etc...

page 4

Le filtrage des images

Introduction




---

---

---

---

---

---

---

---

## Représentation fréquentielle

- **Rappel: transformée de Fourier 1D**

$$S(\nu) = \int_{\mathbb{R}} s(t) \exp[-2i\pi\nu t] dt$$

- **Transformée de Fourier 2D**

$$S(\nu_x, \nu_y) = \iint_{\mathbb{R}^2} s(x, y) \exp[-2i\pi(\nu_x x + \nu_y y)] dx dy$$

$$S(\nu_x, \nu_y) = \int_{\mathbb{R}} \left( \int_{\mathbb{R}} s(x, y) \exp[-2i\pi\nu_y y] dy \right) \exp[-2i\pi\nu_x x] dx$$

$$S(\nu_x, \nu_y) = \int_{\mathbb{R}} S_x(\nu_y) \exp[-2i\pi\nu_x x] dx$$

propriété de  
séparabilité

page 5

Le filtrage des images

0. Rappels




---

---

---

---

---

---

---

---

## Représentation fréquentielle

- **Définition: transformée de Fourier discrète 2D**

$$S(\nu_x, \nu_y) = \frac{1}{\sqrt{N_x N_y}} \sum_{n_x=0}^{N_x-1} \sum_{n_y=0}^{N_y-1} s(n_x, n_y) \exp \left[ -2j\pi \left( \nu_x \frac{n_x}{N_x} + \nu_y \frac{n_y}{N_y} \right) \right]$$

- **Séparabilité**

$$S(\nu_x, \nu_y) = \frac{1}{\sqrt{N_x}} \sum_{n_x=0}^{N_x-1} \left[ \frac{1}{\sqrt{N_y}} \sum_{n_y=0}^{N_y-1} s(n_x, n_y) \exp \left( -2j\pi \nu_y \frac{n_y}{N_y} \right) \right] \exp \left( -2j\pi \nu_x \frac{n_x}{N_x} \right)$$

$$= \mathcal{F}_x [\mathcal{F}_y [s]] (\nu_x, \nu_y)$$

- **Complexité**

$$N_x N_y \log(N_x N_y)$$

page 6

Le filtrage des images

0. Rappels




---

---

---

---

---

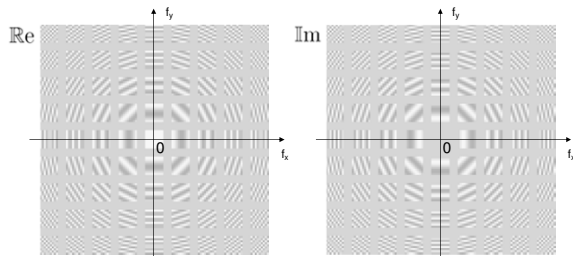
---

---

---

## Représentation fréquentielle

- Décomposition d'une image sur une base de sinusôides  
ex: vecteurs formant la base de sinusôides pour les images 9x9



page 7

Le filtrage des images

0. Rappels




---

---

---

---

---

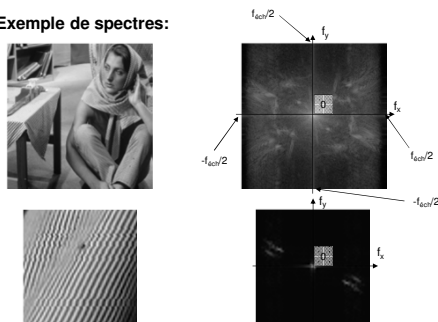
---

---

---

## Représentation fréquentielle

- Exemple de spectres:



page 8

Le filtrage des images

0. Rappels




---

---

---

---

---

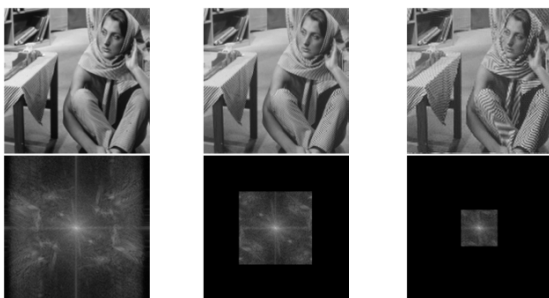
---

---

---

## Echantillonnage – Théorème de Shannon

- Illustration du phénomène de repliement spectral:



page 9

Le filtrage des images

0. Rappels




---

---

---

---

---

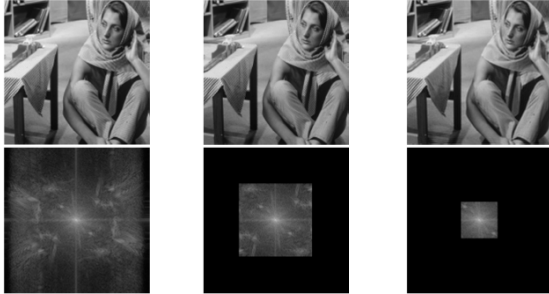
---

---

---

## Echantillonnage – Théorème de Shannon

- Sous-échantillonnage après filtrage passe-bas (anti-repliement):



page 10

Le filtrage des images

0. Rappels




---

---

---

---

---

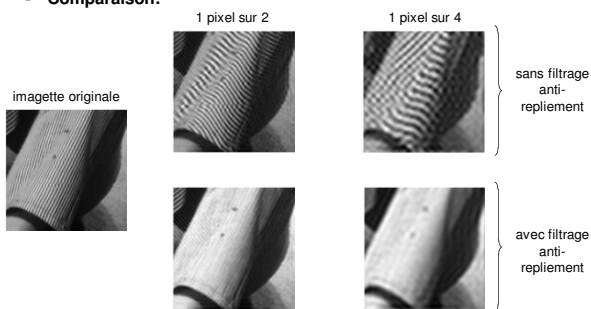
---

---

---

## Echantillonnage – Théorème de Shannon

- Comparaison:



page 11

Le filtrage des images

0. Rappels




---

---

---

---

---

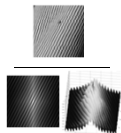
---

---

---

## Auto-corrélation / inter-corrélation

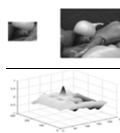
- Auto-corrélation:



### Applications:

détermination de la taille et de l'orientation de structures dans une image,  
présence d'échelles différentes

- Inter-corrélation:



### Applications:

recherche d'un motif dans une image (template matching)  
recalage d'image (i.e., mise en correspondance)

page 12

Le filtrage des images

0. Rappels




---

---

---


---

---

---

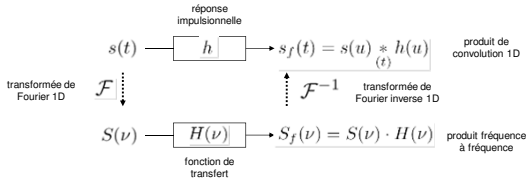
---

---



# 1. Filtrage linéaire

- Extension du filtrage 1D: cas 1D




The diagram illustrates the 1D linear filtering process. It shows two parallel paths. The top path represents the time domain: an input signal  $s(t)$  is convolved with an impulse response  $h(t)$  to produce the output  $s_f(t) = s(t) * h(t)$ . This is labeled as 'produit de convolution 1D'. The bottom path represents the frequency domain: the input is transformed by the 1D Fourier transform  $\mathcal{F}$  into  $S(\nu)$ , which is then multiplied by the transfer function  $H(\nu)$  to produce the output  $S_f(\nu) = S(\nu) \cdot H(\nu)$ . This is labeled as 'produit fréquence à fréquence'. Vertical arrows indicate the transformation between the two domains:  $\mathcal{F}$  from time to frequency, and  $\mathcal{F}^{-1}$  from frequency back to time.

page 13

Le filtrage des images

1. Filtrage linéaire



---

---

---


---

---

---

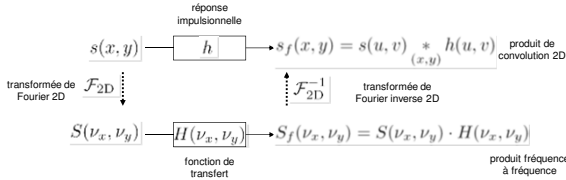
---

---



# 1. Filtrage linéaire

- Extension du filtrage 1D: cas 2D




The diagram illustrates the 2D linear filtering process. It shows two parallel paths. The top path represents the spatial domain: an input image  $s(x, y)$  is convolved with a 2D impulse response  $h(x, y)$  to produce the output  $s_f(x, y) = s(x, y) * h(x, y)$ . This is labeled as 'produit de convolution 2D'. The bottom path represents the frequency domain: the input is transformed by the 2D Fourier transform  $\mathcal{F}_{2D}$  into  $S(\nu_x, \nu_y)$ , which is then multiplied by the 2D transfer function  $H(\nu_x, \nu_y)$  to produce the output  $S_f(\nu_x, \nu_y) = S(\nu_x, \nu_y) \cdot H(\nu_x, \nu_y)$ . This is labeled as 'produit fréquence à fréquence'. Vertical arrows indicate the transformation between the two domains:  $\mathcal{F}_{2D}$  from spatial to frequency, and  $\mathcal{F}_{2D}^{-1}$  from frequency back to spatial.

- Transformations 2D

page 14

Le filtrage des images

1. Filtrage linéaire



---

---

---

---

---

---

---

---

# Formulation discrète

**Formulation continue:**

$$s_f(x, y) = s(u, v) *_{(x, y)} h(u, v) \equiv \int_{-\infty}^{\infty} \int_{-\infty}^{\infty} s(x - u, y - v) \cdot h(u, v) du dv$$

**Formulation discrète:**

- L'image est échantillonnée:  $N_x N_y$  pixels
- La réponse impulsionnelle est finie:  $(2k+1)(2k+1)$  valeurs

$$s_f(x, y) = s(u, v) *_{(x, y)} h(u, v) \equiv \sum_{u=-k}^k \sum_{v=-k}^k s(x - u, y - v) \cdot h(u, v)$$

avec  $(x, y) \in \mathbb{Z}^2$  et  $(u, v) \in \mathbb{Z}^2$


**Complexité algorithmique:**

$$N_x N_y (2k + 1)^2$$

page 15

Le filtrage des images

1. Filtrage linéaire



---

---

---

---

---

---

---

---

## Filtrage dans l'espace direct

### Exemple: filtre moyennneur

0	0	0	0	0
0	0	0	0	0
0	0	1	0	0
0	0	0	0	0
0	0	0	0	0

image  
 $s_i$

1	1	1
1	1	1
1	1	1

1/9 ×

réponse  
impulsionnelle  
 $h_i$

?	?	?	?	?
?	1	1	1	?
?	1	1	1	?
?	1	1	1	?
?	?	?	?	?

1/9 ×

image filtrée  
 $s_f$

$$s_f(x, y) = \sum_{u=-1}^1 \sum_{v=-1}^1 s(x-u, y-v) \cdot h(u, v)$$

## Filtrage dans l'espace direct

### Exemple: filtre moyennneur

0	1	0	1	0
1	0	2	2	1
0	2	1	1	0
1	1	2	0	2
1	0	1	0	0

image  
 $s_i$

1	1	1
1	1	1
1	1	1

1/9 ×

réponse  
impulsionnelle  
 $h_i$

?	?	?	?	?
?	7	10	8	?
?	10	11	11	?
?	9	8	7	?
?	?	?	?	?

1/9 ×

image filtrée  
 $s_f$

$$s_f(x, y) = \sum_{u=-1}^1 \sum_{v=-1}^1 s(x-u, y-v) \cdot h(u, v)$$

## Filtrage dans l'espace direct

### Exemple: filtre dérivateur

1	1	0	0	0
1	1	0	0	0
1	1	1	0	0
1	1	1	0	0
1	1	1	1	0

image  
 $s_i$

1	0	-1
2	0	-2
1	0	-1

réponse  
impulsionnelle  
 $h_i$

?	?	?	?	?
?	-3	-4	-1	?
?	-1	-4	-3	?
?	0	-3	-4	?
?	?	?	?	?

image filtrée  
 $s_f$

$$s_f(x, y) = \sum_{u=-1}^1 \sum_{v=-1}^1 s(x-u, y-v) \cdot h(u, v)$$

### Filtrage fréquentiel: passe-bas

transformée de Fourier 2D  $\mathcal{F}_{2D}$

fonction de transfert  $H(v_x, v_y)$

transformée de Fourier inverse 2D  $\mathcal{F}_{2D}^{-1}$

page 19    Le filtrage des images    1. Filtrage linéaire    CPE

---

---

---

---

---

---

---

---

### Filtrage fréquentiel: passe-haut

transformée de Fourier 2D  $\mathcal{F}_{2D}$

fonction de transfert  $H(v_x, v_y)$

transformée de Fourier inverse 2D  $\mathcal{F}_{2D}^{-1}$

page 20    Le filtrage des images    1. Filtrage linéaire    CPE

---

---

---

---

---

---

---

---

### 2. Filtrage non linéaire

- Limite du filtrage linéaire: influence des outliers**

image bruitée (poivre et sel)

image filtrée  
filtre linéaire (moyenneur 3x3)

image filtrée  
filtre non linéaire (médian 3x3)
- Limite du filtrage linéaire: support constant**

page 21    Le filtrage des images    2. Filtrage non linéaire    CPE

---

---

---

---

---

---

---

---

## Filtre médian

- Principe: estimation robuste

0	0	0	0	0
0	0	0	0	0
0	0	1	0	0
0	0	0	0	0
0	0	0	0	0

image  
 $S_i$


fenêtre d'analyse  
médian 3x3

?	?	?	?	?
?	0	0	0	?
?	0	0	0	?
?	0	0	0	?
?	?	?	?	?

image filtrée  
 $S_f$

- 1/ Tri des valeurs dans la fenêtre d'analyse
- 2/ Valeur filtrée = médiane (ici, 5<sup>ème</sup> valeur)

page 22

Le filtrage des images

2. Filtrage non linéaire



## Filtre médian

- Principe: estimation robuste

12	14	20	18	0
15	99	17	22	23
18	11	13	19	25
16	99	0	15	11
17	22	14	99	24

image  
 $S_i$


fenêtre d'analyse  
médian 3x3

?	?	?	?	?
?	15	18	19	?
?	16	17	17	?
?	16	15	15	?
?	?	?	?	?

image filtrée  
 $S_f$

- 1/ Tri des valeurs dans la fenêtre d'analyse
- 2/ Valeur filtrée = médiane (ici, 5<sup>ème</sup> valeur)

page 23

Le filtrage des images

2. Filtrage non linéaire



## Filtrage d'ordre

- Filtre d'ordre  $p$ :  $p^{\text{ème}}$  valeur ordonnée

0	0	0	0	0
0	0	0	0	0
0	0	1	0	0
0	0	0	0	0
0	0	0	0	0

image  
 $S_i$


fenêtre d'analyse  
3x3

- $p = \lfloor (2k+1)/2 \rfloor$ : filtre médian  
 $p=1$ : filtre min  
 $p=(2k+1)^2$ : filtre max

Filtre min ou médian:

?	?	?	?	?
?	0	0	0	?
?	0	0	0	?
?	0	0	0	?
?	?	?	?	?

image filtrée

Filtre max:

?	?	?	?	?
?	1	1	1	?
?	1	1	1	?
?	1	1	1	?
?	?	?	?	?

image filtrée

- 1/ Tri des valeurs dans la fenêtre d'analyse
- 2/ Valeur filtrée =  $p^{\text{ème}}$  valeur

page 24

Le filtrage des images

2. Filtrage non linéaire



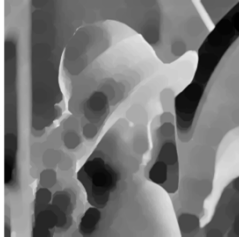


## Filtrage morphologique

- Extension des notions de morphologie mathématique binaire aux images à niveaux de gris



Fermeture par un disque de rayon 15 pixels:



page 25

Le filtrage des images

2. Filtrage non linéaire




---

---

---

---

---

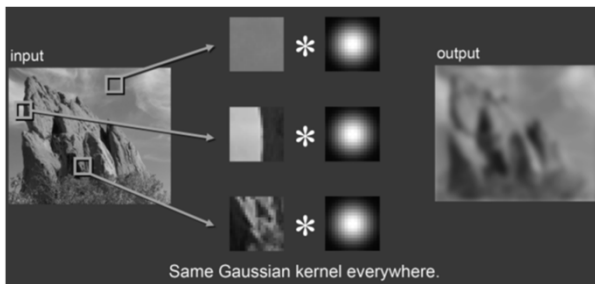
---

---

---

## Filtrage bilatéral

- Limite du filtrage linéaire: noyau constant



d'après "Fixing the gaussian blur: the bilateral filter", Silvain Paris, SIGGRAPH 2007

page 26

Le filtrage des images

2. Filtrage non linéaire




---

---

---

---

---

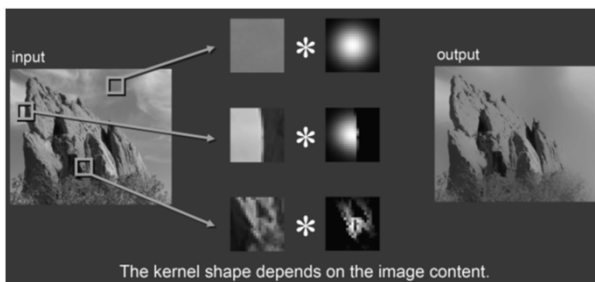
---

---

---

## Filtrage bilatéral

- Idée du filtrage bilatéral: noyau adaptatif



d'après "Fixing the gaussian blur: the bilateral filter", Silvain Paris, SIGGRAPH 2007

page 27

Le filtrage des images

2. Filtrage non linéaire




---

---

---

---

---

---

---

---

## Filtrage bilatéral

- Principe: filtrage gaussien + pondération gaussienne des amplitudes

$$BF[I]_p = \frac{1}{W_p} \sum_{q \in S} \overset{\text{new}}{G_{\sigma_s}(\|p - q\|)} \overset{\text{not new}}{G_{\sigma_r}(\|I_p - I_q\|)} \overset{\text{new}}{I_q}$$

normalization factor
space weight
range weight

d'après "Fitting the gaussian blur: the bilateral filter", Sylvain Paris, SIGGRAPH 2007

page 28

Le filtrage des images

2. Filtrage non linéaire



## Filtrage bilatéral

$$BF[I]_p = \frac{1}{W_p} \sum_{q \in S} G_{\sigma_s}(\|p - q\|) G_{\sigma_r}(\|I_p - I_q\|) I_q$$

output ← input

reproduced from [Durand 02]

## Block Matching and 3D filtering (BM3D)

### Principe:

Rechercher dans l'image des régions similaires et générer des stacks

Filtrer chaque stack à l'aide d'un filtre 3D adapté

Repositionner les régions filtrées dans l'image

d'après "Image denoising with block-matching and 3D filtering", K. Dabov et al., Proc. SPIE Electronic Imaging 2006, n°6644-30, San Jose, Jan 2006  
Et d'après "An analysis and implementation of the BM3D denoising method", M. Lebrun, Image processing online, 2(2012), pp175-213

page 30

Le filtrage des images

2. Filtrage non linéaire



## Block Matching and 3D filtering (BM3D)

### Step 1: Hard thresholding → Step 1.1: Block matching

Soit  $P$  un patch de référence de dimensions  $k \times k$   
 Soit  $W$  une zone de recherche centrée sur  $P$  et de dimensions  $n \times n$   
 On définit un ensemble de patch  $E(P)$  similaire à  $P$  par:

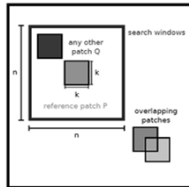
$$E(P) = \{Q : d(P, Q) \leq \tau^{hard}\}$$

Avec

$$d(P, Q) = \frac{\|\gamma'(P, \tau^{hard}, \sigma) - \gamma'(Q, \tau^{hard}, \sigma)\|^2}{k \cdot k}$$

$$\gamma'(\tau, \tau^{hard}) = \begin{cases} \tau, & \text{si } |\tau| > \tau^{hard} \\ 0, & \text{sinon} \end{cases}$$

$\sigma^2$  est la variance d'un bruit blanc Gaussien centré



d'après "An analysis and implementation of the BM3D denoising method", M. Lebrun, Image processing online, 2(2012), pp175-213

page 31

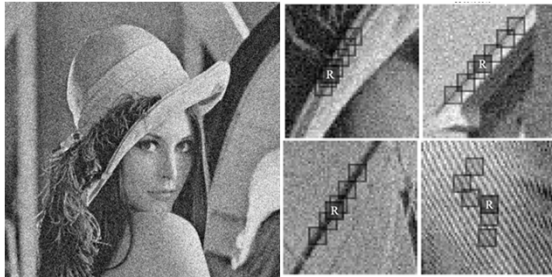
Le filtrage des images

2. Filtrage non linéaire



## Block Matching and 3D filtering (BM3D)

### Step 1: Hard thresholding → Step 1.1: Block Matching



d'après "Image denoising with block-matching and 3D filtering", K. Dabov et al., Proc. SPIE Electronic Imaging 2006, n°064A-30, San Jose, Jan 2006

page 32

Le filtrage des images

2. Filtrage non linéaire



## Block Matching and 3D filtering (BM3D)

### Step 1: Hard thresholding → Step 1.2: Collaborative filtering

Le block 3D constitué pour chaque patch de référence est ensuite filtré

On définit une transformation 2D sur les patches  $\mathcal{G}_{2D}$

On définit une transformation 1D sur la profondeur de la stack  $\mathcal{G}_{1D}$

$$E(P) = \mathcal{G}_{2D}^{-1}(\mathcal{G}_{1D}^{-1}(\gamma'(\mathcal{G}_{1D}(\mathcal{G}_{2D}(E(P))))))$$

Avec

$$\gamma(x) = \begin{cases} 0, & \text{si } |x| > \lambda_{2D}^{hard} \sigma \\ x, & \text{sinon} \end{cases}$$

$\mathcal{G}$  est une transformation linéaire (ie DCT, DFT, ...)

page 33

Le filtrage des images

2. Filtrage non linéaire



## Block Matching and 3D filtering (BM3D)

### Step 1: Hard thresholding → Step 1.3: Aggrégation

On construit le buffer suivant

$$\forall Q \in E(P), \forall x \in Q, \begin{cases} v(x) = v(x) + \omega_p^{hard} u_{Q,P}^{hard}(x) \\ \delta(x) = \delta(x) + \omega_p^{hard} \end{cases}$$

Avec

$$\begin{cases} u_{Q,P}^{hard}(x) \text{ valeur du pixel } x \text{ à l'issue du filtrage collaboratif précédent} \\ \omega_p^{hard} = \begin{cases} 1/N_p^{hard}, & \text{si } N_p^{hard} \geq 1 \\ 1, & \text{sinon} \end{cases} \\ N_p^{hard} \text{ est le nombre de coefficients non nuls présents dans le bloc 3D après le traitement par } \gamma \text{ à l'étape précédente} \end{cases}$$

page 34

Le filtrage des images

2. Filtrage non linéaire



## Block Matching and 3D filtering (BM3D)

### Step 1: Hard thresholding → Step 1.3: Aggrégation

Finalement l'image estimée est donnée par le ratio des buffers précédents sur l'ensemble du bloc et du patch

$$u^{step1}(x) = \frac{\sum_P \omega_p^{hard} \sum_{Q \in E(P)} \chi_Q(x) u_{Q,P}^{hard}(x)}{\sum_P \omega_p^{hard} \sum_{Q \in E(P)} \chi_Q(x)}$$

$$\text{Avec } \chi_Q(x) = \begin{cases} 1, & \text{si } x \in Q \\ 0, & \text{sinon} \end{cases}$$

page 35

Le filtrage des images

2. Filtrage non linéaire



## Block Matching and 3D filtering (BM3D)

### Step 2: Débruitage → Step 2.1: Regroupement

On utilisera ici un filtre de Wiener connaissant l'image bruitée et une estimation débruitée

On définit un ensemble de patch  $E^{basic}(P)$  similaire à P sur l'image du step1 et défini par:

$$E^{step1}(P) = \{Q : d(P, Q) \leq \tau^{wiener}\}$$

page 36

Le filtrage des images

2. Filtrage non linéaire



## Block Matching and 3D filtering (BM3D)

### Step 2: Débruitage → Step 2.2: Collaborative filtering

On utilisera ici un filtre de Wiener connaissant l'image bruitée et une estimation débruitée

Les coefficients du filtre sont donnés par:

$$\omega_p(\xi) = \frac{\left| \tau_{3D}^{wiener} \left( E^{step1}(P) \right) \chi(\xi) \right|^2}{\left| \tau_{3D}^{wiener} \left( E^{step1}(P) \right) \chi(\xi) \right|^2 + \sigma^2}$$

L'ensemble filtré est donné par:

$$E^{step1}(P) = \tau_{3D}^{wiener^{-1}} \left( \omega_p, \tau_{3D}^{wiener} (E(P)) \right)$$

page 37

Le filtrage des images

2. Filtrage non linéaire



## Block Matching and 3D filtering (BM3D)

### Step 2: Débruitage → Step 2.3: Aggrégation

On construit le buffer suivant

$$\forall Q \in E(P), \forall x \in Q, \begin{cases} \nu(x) = \nu(x) + \omega_p^{wiener} u_{Q,P}^{wiener}(x) \\ \delta(x) = \delta(x) + \omega_p^{wiener} \end{cases}$$

Avec

$$\begin{cases} u_{Q,P}^{wiener}(x) & \text{valeur du pixel } x \text{ à l'issue du filtrage collaboratif précédent} \\ \omega_p^{wiener} & = \|\omega_p\|_2^{-2} \end{cases}$$

page 38

Le filtrage des images

2. Filtrage non linéaire



## Block Matching and 3D filtering (BM3D)

### Step 1: Débruitage → Step 1.3: Aggrégation

Finalement l'image estimée est donnée par le ratio des buffers précédents sur l'ensemble du bloc et du patch

$$u^{step2}(x) = \frac{\sum_P \omega_p^{wiener} \sum_{Q \in E(P)} \chi_Q(x) u_{Q,P}^{wiener}(x)}{\sum_P \omega_p^{wiener} \sum_{Q \in E(P)} \chi_Q(x)}$$

$$\text{Avec } \chi_Q(x) = \begin{cases} 1, & \text{si } x \in Q \\ 0, & \text{sinon} \end{cases}$$

page 39

Le filtrage des images

2. Filtrage non linéaire



### Block Matching and 3D filtering (BM3D)



d'après "Image denoising with block-matching and 3D filtering", K. Dabov et al., Proc. SPIE Electronic Imaging 2006, n°6064A-30, San Jose, Jan 2006

page 40

Le filtrage des images

2. Filtrage non linéaire



---

---

---

---

---

---

---

---

### Block Matching and 3D filtering (BM3D)



d'après "Image denoising with block-matching and 3D filtering", K. Dabov et al., Proc. SPIE Electronic Imaging 2006, n°6064A-30, San Jose, Jan 2006

page 41

Le filtrage des images

2. Filtrage non linéaire



---

---

---

---

---

---

---

---

### Block Matching and 3D filtering (BM3D)



d'après "Image denoising with block-matching and 3D filtering", K. Dabov et al., Proc. SPIE Electronic Imaging 2006, n°6064A-30, San Jose, Jan 2006

page 42

Le filtrage des images

2. Filtrage non linéaire



---

---

---

---

---

---

---

---

## Block Matching and 3D filtering (BM3D)



Noisy image  $\sigma = 40$



Basic estimate



Final estimate

Et d'après "An analysis and implementation of the BM3D denoising method", M. Lebrun, Image processing online, 2(2012), pp175-213